

УДК 534.8, 538.222

© 1991

**ИССЛЕДОВАНИЕ КРИСТАЛЛОВ ИАГ : Ср МЕТОДОМ
АКУСТИЧЕСКОГО ЭЛЕКТРОННОГО
ПАРАМАГНИТНОГО РЕЗОНАНСА**

*И. Ш. Ахмадуллин, В. А. Голенищев-Кутузов,
С. А. Мигачев, А. Г. Охричук, А. В. Шестаков*

Методом акустического электронного парамагнитного резонанса (АЭПР) исследована система $\text{Y}_3\text{Al}_5\text{O}_{12} : \text{Cr}$. Впервые обнаружено резонансное поглощение гиперзвуковых ионами Cr^{3+} и Cr^{4+} , исследованы угловые зависимости спектров АЭПР при вращении H_0 в плоскостях (001) и (110). Измеренное значение g -фактора ионов Cr^{4+} , локализованных в октаэдрическом окружении, составляет $g_{\parallel} = 1.44 \pm 0.06$. В рамках теории кристаллического поля построена схема спиновых уровней иона Cr^{4+} .

Недавно была осуществлена лазерная генерация на кристаллах иттрий-алюминиевого граната (ИАГ), легированных ионами Cr^{4+} [1]. Стабилизация ионов Cr^{4+} в структуре ИАГ обычно достигается одновременным легированием ионами Ca^{2+} либо Mg^{2+} . Однако такое легирование может сопровождаться образованием центров окраски, обладающих собственными полосами поглощения и люминесценции [2]. Все это усложняет интерпретацию происходящих физических процессов. Причем если оптические спектры иона Cr^{4+} в ИАГ сравнительно изучены [3–5], то информация о спектрах парамагнитного резонанса отсутствует. В то же время методы магнитного резонанса позволяют осуществлять структурные исследования зарядовых компенсаторов и ионов легирования. Структура же ИАГ позволяет образовывать большое количество парамагнитных центров, различающихся по локализации в решетке. С одной стороны, это усложняет интерпретацию получаемых данных, а с другой стороны, предоставляет больше возможностей в смысле создания различных ситуаций. (К примеру, катионы здесь локализуются в трех различных координациях: кубической, октаэдрической и тетраэдрической). Знание структурных особенностей и энергетического спектра примесей позволяет более адекватно рассматривать физические процессы, происходящие в кристаллах при лазерной генерации, уточнить роль тех или иных структурных неоднородностей (ионы легирования, вакансии и пр.).

Установление структуры энергетического спектра ионов с четным числом электронов (некрамерсовые ионы), к которым относится и Cr^{4+} , традиционными методами магнитной радиоспектроскопии наталкивается на серьезные экспериментальные трудности. Во внешнем магнитном поле некрамерсовые ионы образуют спиновые дублеты, переходы внутри которых ($\Delta m = \pm 2, \pm 4$) запрещены для магнитной составляющей СВЧ-поля. Для возбуждения же переходов с $\Delta m = \pm 1$ существенным препятствием является большая величина начального расщепления (для Cr^{4+} в Al_2O_3 , $D \cong 8 \text{ см}^{-1}$ [6]). К тому же данные ионы обычно обладают сильным электрон-фононным взаимодействием, что приводит к ширинам линий, достигающим единиц килоэрстед для 3-см диапазона СВЧ; это обстоятельство весьма усложняет регистрацию спектров. Наиболее подходящими методами исследования таких систем могут быть акустический ЭПР [7] и

термическое детектирование [8]. Сложность их по сравнению с обычными методами ЭПР явилась причиной ограниченности сведений о спектрах парамагнитного резонанса некрамерсовых ионов. Имеющиеся данные относятся преимущественно к ионам Fe^{2+} , Cr^{2+} , Mn^{3+} в Al_2O_3 , MgO и некоторых других кристаллах [6]. Следует отметить, что число кристаллов, в которых экспериментально наблюдался АЭПР, ограничено; до настоящей работы гранаты сюда не входили. Имеющиеся в литературе сведения относятся к исследованию поведения ионов Cr^{4+} только в корунде [9-13].

В данной работе сделана попытка применить АЭПР для исследования ионов Cr^{4+} в ИАГ и, таким образом, расширить возможности акустического резонанса.

1. Методика эксперимента и результаты

Кристаллы выращивались методом Чохральского из шихты, содержащей помимо основных компонент окись хрома (содержание хрома до 0.5 ат. % по Al). Для стабилизации ионов Cr^{4+} в шихту добавлялась окись кальция или магния с содержанием Ca^{2+} или Mg^{2+} до 0.5 ат. % по иттрию.

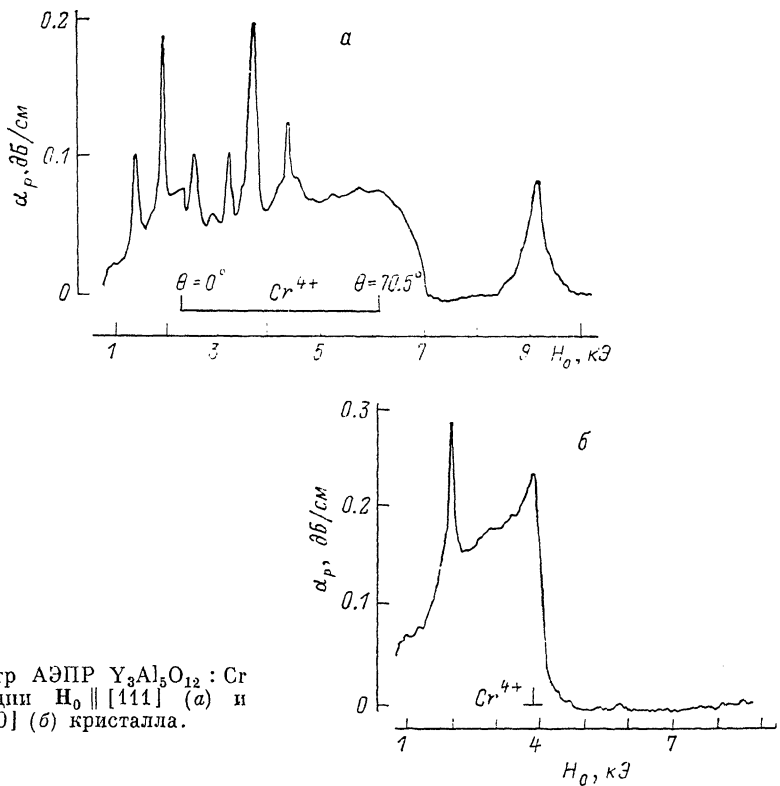


Рис. 1. Спектр АЭПР $\text{Y}_3\text{Al}_5\text{O}_{12} : \text{Cr}$ для ориентации $\text{H}_0 \parallel [111]$ (а) и $\text{H}_0 \parallel [100]$ (б) кристалла.

Образцам придавалась форма цилиндров с плоскими параллельными и оптически обработанными с точностью до $5''$ торцами. Образующая цилиндра составляла угол не более 1° с направлением [001] кристалла. Возбуждение акустических колебаний осуществлялось на частоте 8.9 ГГц пьезоэлектрическими тонкопленочными преобразователями ZnO , напыленными на подслое Al. Регистрация спектров производилась на импульсном спектрометре АЭПР при температурах 1.7—4.2 К. При этом измерение скорости звука свидетельствовало о том, что возбуждались продольные акустические колебания. Интенсивность гиперзвукка выбиралась такой, чтобы не создавать заметного насыщения. Конструкция резонатора позволяла при необходимости создавать на образцах большую интенсивность электрической компоненты СВЧ. Ориентация образцов в поле H_0 устанавливалась по уг-

ловой зависимости спектров ЭПР ионов Fe^{3+} , которые входили в качестве неконтролируемой примеси. Линии ЭПР Fe^{3+} существенно уже, чем у Cr^{3+} , что позволяло ориентировать образцы в магнитном поле с точностью до 1° . Для облегчения интерпретации полученных методом АЭПР результатов предварительно изучались угловые зависимости спектра Cr^{3+} в этих образцах, при этом рабочая частота спектрометра ЭПР выбиралась максимально близкой (с точностью до ± 3 МГц) к частоте импульсного генератора спектрометра АЭПР. Угловые зависимости спектров АЭПР $H_p(\theta)$ регистрировались для двух плоскостей. При вращении вектора магнитного поля \mathbf{H}_0 в плоскости (001) кристалла волновой вектор \mathbf{K} акустических колебаний

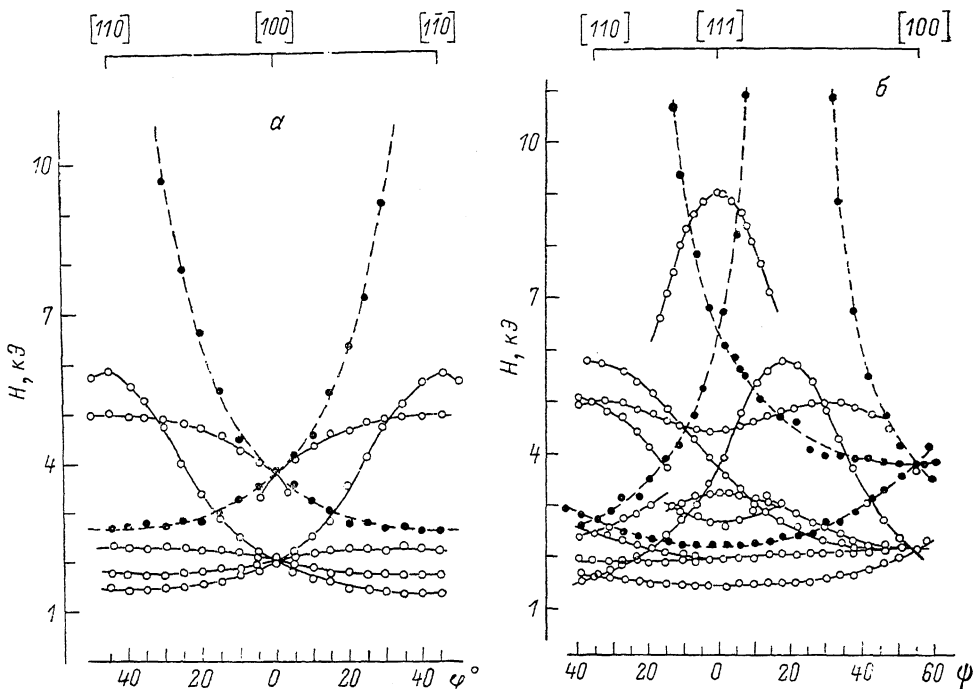


Рис. 2. Угловые зависимости спектров ЭПР и АЭПР при вращении \mathbf{H}_0 в плоскости (001) (а) и (110) (б).

φ — угол между \mathbf{H}_0 и направлением [100], ψ — угол между \mathbf{H}_0 и направлением [111].

составлял всегда угол $\pi/2$ с направлением \mathbf{H}_0 ; при вращении \mathbf{H}_0 в плоскости (110) угол между \mathbf{H}_0 и \mathbf{K} изменялся от 0 при $\mathbf{H}_0 \parallel [100]$ до $\pi/2$ при $\mathbf{H}_0 \parallel [110]$. Спектры АЭПР (зависимость поглощения гиперзвукка $\alpha_p(H_0)$) для двух различных ориентаций кристалла приведены на рис. 1, а, б. В наблюдаемых спектрах можно выделить две разновидности линий: симметричные и относительно узкие ($\Delta H_{1/2} \approx 50-200$ Э, где $\Delta H_{1/2}$ — ширина линии на ее полувысоте) и более широкие ($\Delta H_{1/2} > 700$ Э) линии, имеющие широкие «хвосты» со стороны малых полей \mathbf{H}_0 . Для ориентации поля $\mathbf{H}_0 \parallel [100]$ имеем суперпозицию одной широкой и двух относительно узких линий (рис. 1, б).

Спектры АЭПР образцов с различной концентрацией хрома были качественно идентичными, но интенсивность всех линий АЭПР в образцах с концентрацией хрома 0.5 ат. % была примерно в 2 раза больше, чем в образцах с концентрацией 0.25 ат. %.

Идентификация спектров проводилась по анализу угловых зависимостей линий ЭПР Cr^{3+} и АЭПР. На рис. 2, а, б приведены угловые зависимости для вращения вектора \mathbf{H}_0 в двух различных плоскостях. Сплошными линиями приведены угловые зависимости спектров ЭПР Cr^{3+} , светлыми и зачерненными кружками обозначены угловые зависимости соответственно симметричных и несимметричных линий АЭПР.

Было предпринято исследование температурной зависимости резонансного поглощения акустических колебаний $\alpha_p(T)$ в диапазоне температур $1.7 \text{ K} \leq T \leq 4.2 \text{ K}$, которое показало, что она совпадает в пределах ошибок измерений для симметричных и несимметричных линий АЭПР.

Далее были проведены эксперименты по насыщению линий ЭПР электрической компонентой СВЧ-поля. Рис. 3 иллюстрирует полученные результаты. На нем приведены два спектра АЭПР при мощностях СВЧ-поля, отличающихся на 12 дБ. При этом усиление подбиралось таким, чтобы оставались неизменными узкие линии. Отчетливо видно существенно более заметное воздействие электрической СВЧ-компоненты на амплитуду несимметричных линий АЭПР.

2. Обсуждение результатов. АЭПР Cr^{3+} в ИАГ

Кристаллическая решетка ИАГ относится к пространственной группе $Ia\bar{3}d$ (O_h^{10}) с общей кубической симметрией. Ионы Al^{3+} локализуются в позициях с октаэдрической и тетраэдрической координацией. Примесные ионы Cr^{3+} замещают ионы Al^{3+} только в октаэдрах. Кислородные октаэдры деформированы в направлении оси симметрии C_3 и повернуты на углы $\alpha = \pm 27.5^\circ$ вокруг C_3 . Как следствие, локальная кубическая симметрия

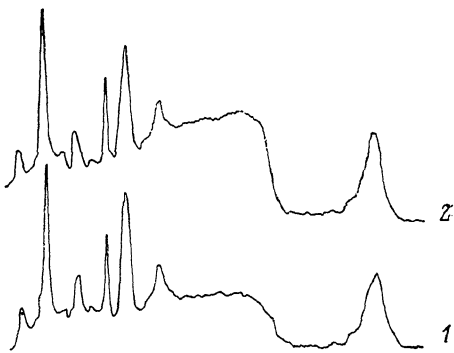


Рис. 3. Насыщение спектров АЭПР электрическим СВЧ-полем.

1 — 0, 2 — 12 дБ.

в месте иона Cr^{3+} понижается до тригональной. При этом в общем случае образуется восемь неэквивалентных октаэдрических комплексов, главные оси которых ориентированы вдоль направлений $\{111\}$. Однако для спина $S < 2$ спектр имеет аксиальную симметрию (D_{00h}) и наблюдаются только четыре набора резонансных линий. Зеемановские уровни иона Cr^{3+} описываются спиновым гамильтонианом [14]

$$H = g_{\parallel} \beta H S_z \cos \theta + g_{\perp} \beta H S_x \sin \theta + D [S_z^2 - S(S+1)/3], \quad (1)$$

где $g_{\parallel} = g_{\perp} = 1.977$, $2|D| = 5527 \text{ Гц}$, $S = 3/2$, θ — угол между векторами магнитного поля H_0 и осью Z комплекса.

Угловые зависимости линий ЭПР Cr^{3+} исследуемых образцов (рис. 2, а, б, сплошные кривые) удовлетворительно описываются гамильтонианом (1). Данное обстоятельство, а также наблюдающаяся в наших экспериментах корреляция угловых зависимостей узких симметричных линий АЭПР и линий ЭПР Cr^{3+} (рис. 2) позволяют идентифицировать эту часть спектра. При этом, вращая вектор H_0 в какой-либо плоскости, будем иметь суперпозицию четырех спектров, для которых углы θ_i меняются, вообще говоря, по-разному, совпадая только для некоторых ориентаций кристалла. В конкретном случае вращения H_0 в плоскости (001) (рис. 2, а) при $\phi = \pm 45^\circ$ углы θ_i составляют 90° для одной пары и 32.25° для другой пары спектров. При $\phi = 0^\circ$ все восемь комплексов магнитоэквивалентны и все $\theta_i = 54.75^\circ$. Соответственно при вращении H_0 в плоскости (110) (рис. 2, б) имеем суперпозицию четырех спектров, два из которых совпадают. В этом случае при $\phi = 32.25^\circ$ углы θ_i составляют соответственно 32.25° и 90° ; при $\phi = 0^\circ$ θ_i равны 0 и 70.5° , а для $\phi = -54.75^\circ$ все комплексы магнитоэквивалентны и все $\theta_i = 54.75^\circ$.

Ширины линий ЭПР и АЭПР ионов Cr^{3+} имеют близкие значения. Так, для перехода $+1/2 \leftrightarrow -1/2$ ширина линии на ее полувысоте $\Delta H_{1/2} \cong 45 \text{ Гц}$ для ЭПР и 52 Гц для АЭПР.

3. АЭПР Cr⁴⁺

Из данных по насыщению линий АЭПР электрическим СВЧ-полем вытекает, что широким асимметричным линиям соответствуют электродипольные переходы с $\Delta m_s = 2$. Это обстоятельство, равно как необычная форма линии, характерно для некрамерсовых ионов; в нашем случае таковыми могут быть Cr⁴⁺ либо Cr²⁺. Однако компенсирующая примесь Me²⁺, вводимая в кристаллы ИАГ, способствует образованию четырехвалентных ионов хрома. Далее в известных случаях Cr²⁺ обладает эффективным спином $S=2$, что приводит к схеме из пяти зеемановских уровней, в которой, кроме переходов внутри дублета $\Delta m_s = \pm 1$, становятся возможными и наблюдаются и другие переходы [11]. В нашем же случае угловые зависимости широких асимметричных линий можно аппроксимировать функциями вида $H_p \sim (\cos \theta_i)^{-1}$, где θ_i — углы между \mathbf{H}_0 и направлениями {111} кристалла. Штриховые кривые на рис. 2, а, б построены из этих предположений. В частности, при $\mathbf{H}_0 \parallel [111]$ (рис. 2, б) имеем суперпозицию спектров с $\theta = 0^\circ$ (одиночный) и $\theta = 70.5^\circ$ (тройной), а при $\mathbf{H}_0 \parallel [100]$ (рис. 2, а) — суперпозицию четырех спектров, для которых $\theta_i = 54.75^\circ$.

Характер угловых зависимостей позволяет утверждать, что широкие асимметричные линии АЭПР принадлежат центрам со спином $S=1$ и магнитными осями комплексов, ориентированными вдоль направлений {111}. Структура ИАГ для такого случая допускает существование только тригональных парамагнитных центров [15]. Наиболее вероятными претендентами на эту роль являются ионы Cr⁴⁺ (электронная конфигурация $3d^2$, основной терм свободного иона 3F). Спиновый гамильтониан ионов Cr⁴⁺ в тригонально искаженном поле совпадает с (1), измеренное значение g -фактора составляет $g_{\parallel} = 1.44 \pm 0.06$.

Существенным обстоятельством, упомянутым выше, является совпадение температурных зависимостей резонансного поглощения акустических колебаний для Cr³⁺ и Cr⁴⁺. На наш взгляд, это свидетельствует о том, что основным состоянием Cr⁴⁺ является спиновый дублет $m_s = \pm 1$, а синглент $m_s = 0$ лежит значительно выше, т. е. $D < 0$. Таким образом, ситуация здесь противоположна той, которая имеется для Cr⁴⁺ в Al₂O₃.

Рассмотрим возможные схемы энергетического спектра иона Cr⁴⁺, в которых основным состоянием будет спиновый дублет. При воздействии тригонально искаженного октаэдрического кристаллического поля на основной терм 3F иона Cr⁴⁺ нижний орбитальный триплет расщепляется на синглент

$$|a\rangle = s|0\rangle + t(|3\rangle - |-3\rangle), \quad 2t^2 + s^2 = 1 \quad (2)$$

с энергией E_a и дублет

$$|b\rangle = p|2\rangle + q|-1\rangle; \quad |c\rangle = p|-2\rangle - q|1\rangle, \quad p^2 + q^2 = 1 \quad (3)$$

с энергией $E_b = E_c$. В волновых функциях (2)–(3) амплитуды s , t , p , q выражаются через радиальные интегралы кулоновского взаимодействия по $3d$ -функциям иона Cr⁴⁺; орбитальные функции $|m_L\rangle$ ($m_L = 0, \dots, \pm 3$) представлены двухэлектронными слэтеровскими детерминантами. Значения амплитуд волновых функций (2)–(3) характеризуют относительную величину тригональной и кубической компонент кристаллического поля. При получении (2)–(3) тригональная компонента поля не считалась малой. Учет спин-орбитального взаимодействия проведем в первом порядке теории возмущений, пренебрегая матричными элементами между состояниями (2)–(3) и остальными вышестоящими орбитальными уровнями. Получающаяся картина расщеплений определяется как соотношением между константой спин-орбитальной связи λ и δ ($\delta = E_a - E_b$), так и знаком тригонального расщепления δ . Рассмотрим два случая: $\delta > 0$ и $\delta < 0$.

а) $\delta < 0$. В этом случае орбитальный синглент (2) является основным. Полагая $\lambda \ll \delta$, находим, что основным состоянием системы в данном случае будет спиновый дублет

$$|\psi_3\rangle = A_1|a1\rangle + B_1|co\rangle; |\psi_4\rangle = A_1|a-1\rangle - B_1|bo\rangle,$$

$$B_1 \ll A_1 \cong 1/(1 + \alpha^2\lambda^2/2|\delta|)^{1/2} \sim 1$$
(4)

с энергией

$$E_3 = E_4 \cong E_a - \alpha^2\lambda^2/2|\delta|, \quad \alpha^2 = 6(pt + \sqrt{2}sq)^2.$$
(5)

Ближайшим по энергии к дублету (4) находится синглет

$$|\psi_9\rangle = C_1|ao\rangle - D_1(|b1\rangle - |c-1\rangle)$$
(6)

с энергией

$$E_9 \cong E_3 + \lambda(2p^2 - q^2) - \alpha^2\lambda^2/2|\delta|.$$
(7)

Сравнение (5) с (7) показывает, что такой порядок расположения уровней имеет место лишь, если

$$\lambda/|\delta| < (2p^2 - q^2)/3(pt + sq\sqrt{2})^2,$$
(8)

в противном случае основным состоянием будет спиновый синглет (6). Вырождение по спину дублета (4) снимается ромбическим полем или зеемановским взаимодействием. Между компонентами дублета разрешены переходы $\Delta m_s = \pm 2$, что приводит к коэффициенту резонансного поглощения звука $a_{\text{рез}} \cong A_1^4$, что, как уже упомянуто, порядка единицы. Получаемое при этом значение g -фактора

$$g_{\parallel} = B_1^2(2p^2 - q^2) + 2A_1^2 \cong 2A_1^2 \cong 2,$$

т. е. близко к чисто спиновому, что не согласуется с измеренным значением.

б) $\delta > 0$. Теперь основным является орбитальный дублет, вследствие чего картина расщеплений меняется. Полагая $\lambda \ll \delta$ и выполнение условия (8), находим, что в этом случае основным состоянием будет спиновый дублет ψ_1, ψ_2 (мы не учитываем ян-теллеровские деформации ввиду их малости [16])

$$|\psi_1\rangle = |b-1\rangle, |\psi_2\rangle = |c1\rangle,$$

$$E_1 = E_2 \cong E_b - \lambda(2p^2 - q^2),$$
(9)

выше которого находятся дублет (4), у которого, однако,

$$A_1 \ll B_1 \cong (1 + \alpha^2\lambda^2/2\delta)^{-1/2},$$

$$E_3 = E_4 \cong E_b - \alpha^2\lambda^2/2\delta,$$

и спиновый синглет (6) с энергией (7). Заметим, что нарушение условия (8) приводит к тому, что основным оказывается синглет (6) — (7). Из вида волновых функций следует, что для $\Delta m_s = \pm 2$

$$g_{\parallel} = 3q^2, q_{\perp} = 0.$$

Поскольку q зависит от соотношения между тригональным и кубическим полями, то, полагая $g_{\parallel} = 1.44$, находим, что q должно быть порядка 1/2. При таком значении q неравенство (8) сводится к

$$\alpha^2\lambda/\delta < 1,$$

что выполняется для типичных значений $\delta \sim 10^3 \div 10^4 \text{ см}^{-1}$ и $\lambda (\text{Cr}^{4+}) = 163 \text{ см}^{-1}$ [17], поскольку $\alpha \sim 1$. Таким образом, при $\delta > 0$ величина наблюдаемого в эксперименте g -фактора находит удовлетворительное объяснение. Переходы $\Delta m_s = 2$ внутри дублета (9) становятся возможными при учете кристаллических полей V более низкой симметрии. Источниками таких полей могут быть упругие деформации кристалла благодаря наличию компенсирующих избыточный заряд Cr^{4+} примесей Ca^{2+} , специально вводимых в матрицу (об этом свидетельствует значительная (~ 700 Э) ширина линий АЭПР ионов Cr^{4+}). Полагая, что при этом не образуется

локальный электрический момент октаэдров, находим, что симметрия V является ромбической. Учет ромбичности приводит, как и в случае конфигурации $3d^1$ [18], к отличной от нуля вероятности перехода между компонентами основного спинового дублета (9).

В наших экспериментах не было выявлено резонансных линий АЭПР, которые можно с определенностью отнести к ионам Cr^{4+} , локализованным в тетраэдрических позициях, хотя проведенные исследования оптических спектров [4, 5] указывают на их образование в кристаллах ИАГ: Cr, Mg. Вероятными причинами этого могут являться низкая концентрация образующихся тетраэдрически координированных ионов Cr^{4+} , не позволяющая обнаружить их методом АЭПР, а также их более слабое спин-фононное взаимодействие. Причину последнего можно объяснить в рамках подхода, использованного выше для октаэдрического окружения.

В тетраэдрах основным состоянием иона Cr^{4+} будет орбитальный синглет

$$|d\rangle = (|2\rangle - |-2\rangle)/2^{1/2}, E = E_d,$$

ближайшим к которому находится орбитальный дублет

$$|e\rangle = l| -1\rangle + m|3\rangle; |f\rangle = l|1\rangle - m|-3\rangle, E = E_f, l^2 + m^2 = 1. \quad (10)$$

Амплитуды l, m определяются соотношением между кубической и тетрагональной компонентами кристаллического поля. Учет спин-орбитального взаимодействия в пределах состояний $|d\rangle, |e\rangle, |f\rangle$ приводит к картине спиновых расщеплений, в которой нижним состоянием является спиновый синглет

$$|\varphi_s\rangle = (2\eta/(E_d - E_s)^2 + 4\eta^2)^{1/2} |do\rangle + ((E_d - E_s)/(2(E_d - E_s)^2 + 8\eta^2)^{1/2}) \times \\ \times (|f1\rangle - |e - 1\rangle), \quad (11)$$

$$\eta = \lambda^2(3 + 2l^2 + 2\sqrt{15}lm)/4, \varepsilon = \lambda(3m^2 - l^2),$$

$$E_s \cong E_d - \varepsilon - 4\eta^2/(\delta_t + \varepsilon), \lambda \ll \delta_t,$$

над которым на расстоянии $\Delta E \cong \varepsilon + 2\eta^2/\delta_t$ ($\lambda \ll \delta_t$) находится спиновый дублет

$$|\varphi_1\rangle = \zeta|d1\rangle - \xi|eo\rangle, |\varphi_2\rangle = \zeta|d - 1\rangle + \xi|fo\rangle, \quad (12)$$

$$\zeta = (2\eta/(2(E_d - E_1)^2 + 4\eta^2)^{1/2}, \xi = ((E_d - E_1)/((E_d - E_1)^2 + 2\eta^2)^{1/2},$$

$$E_1 \cong E_d - 2\eta^2/\delta_t.$$

Полагая, как и в случае октаэдров, $m > l$, получаем, что $\varepsilon > 0$. Особенность полученного спектра заключается в том, что для типичных значений тетрагонального расщепления $\delta_t \cong 10^3 - 10^4 \text{ см}^{-1}$ расстояние ΔE между спиновыми синглетом и дублетом составляет до нескольких десятков обратных сантиметров. Вследствие этого заселенность дублета (12) при температурах наблюдения АЭПР пренебрежимо мала и переходы $\Delta m = \pm 2$ между компонентами дублета малоинтенсивны.

Авторы благодарны И. М. Котелянскому за приготовление гиперзвуковых преобразователей.

Список литературы

- [1] Бородин И. Н., Житнюк В. А., Охримчук А. Г., Шестаков А. В. // Изв. АН СССР, сер. физ. 1990. Т. 54. № 8. С. 1500—1506.
- [2] Матковский А. О., Сугак Д. Ю., Болеста И. М., Васильцов В. И., Витрук Л. Е., Захарко Я. М., Севрюков О. Н. // ЖПС. 1989. Т. 51. № 3. С. 542—545.
- [3] Гармаш В. М., Житнюк В. А., Охримчук А. Г., Шестаков А. В. // Изв. АН СССР, неорг. матер. 1990. Т. 26. № 8. С. 1700—1705.
- [4] Крутова Л. И., Кулагин Н. А., Сандуленко В. А., Сандуленко А. В. // ФТТ. 1989. Т. 31. № 7. С. 170—175.
- [5] Житнюк В. А., Охримчук А. Г., Шестаков А. В. // Тез. докл. IX Всес. симпозиума по спектроскопии кристаллов, активированных ионами переходных металлов. Л., 1990. С. B71.

- [6] Голенищев-Кутузов В. А., Самарцев В. В. и др. Магнитная квантовая акустика. М.: Наука, 1977. 200 с.
- [7] Такер Д., Рэмитон В. Гиперзвук в физике твердого тела. М.: Мир, 1975. 453 с.
- [8] Moore W. S., Bates C. A., Al-Sharabati T. // J. Phys. C. 1973. V. 6. N 10. P. L209—L212.
- [9] Hoskins R. H., Soffer B. H. // Phys. Rev. 1964. V. 133A. N 2. P. 490—493.
- [10] Guermer R., Joffrin J., Levelut A., Penne J. // Phys. Rev. 1969. V. 187. N 3. P. 1153—1159.
- [11] Anderson R. S., Bates C. A. // J. Phys. C. 1972. V. 5. P. 3397—3413.
- [12] Golenishev-Kutuzov V. A., Migachev S. A., Shamukov N. A. // Proceed. Conf. Radio and microwave spectroscopy. Poznan, 1977. P. 15—22.
- [13] Адаменко О. В., Ганапольский Е. Н. // УФЖ. 1987. Т. 32. N 1. С. 131—136.
- [14] Schewe L. J., Cunningham J. // J. Appl. Phys. 1966. V. 37. N 1. P. 449.
- [15] Мейльман М. Л., Самойлович М. И. Введение в спектроскопию ЭПР активированных монокристаллов. М., 1977. 272 с.
- [16] Альтшуллер С. А., Козырев Б. Н. ЭПР соединений элементов промежуточных групп. М.: Наука, 1972. 672 с.
- [17] Orton J. W. // Electron paramagnetic resonance. London, 1968. 240 p.
- [18] Альтшуллер С. А., Башкиров Ш. Ш., Зарипов М. М. // ФТТ. 1962. Т. 4. № 10. С. 3367—3373.

Казанский
физико-технический институт

Поступило в Редакцию
14 декабря 1990 г.